



БИООРГАНИЧЕСКАЯ ХИМИЯ

том 16 * №10* 1990

УДК 577.113.4 + 615.779.9 : 543.422.25

© 1990 г.

*Т. С. Годовикова, В. Ф. Зарытова, С. Г. Лохов,
Т. В. Мальцева, Д. С. Сергеев*

СИНТЕЗ, СТРУКТУРА И СВОЙСТВА РУБОМИЦИНОВЫХ ПРОИЗВОДНЫХ МОНО- И ОЛИГОНУКЛЕОТИДОВ

Новосибирский институт биоорганической химии СО АН СССР

Используя производные моно- и олигонуклеотидов с активной цвяттер-лонной концевой фосфатной группой, содержащей остаток 4-диметиламинопиридина (Ia—b), мы осуществили синтез рубомициновых производных рT (IIa) и олигонуклеотидов. Получены одно- и двумерные (COSY и NOESY) спектры и проведено отнесение сигналов протонов в соединении (IIa). На основании обнаруженной кросс-релаксации между H₆ тимицина и H1' и H2'a, H2'b углеводного остатка рубомицина сделано заключение о существовании достаточно устойчивой конформации молекулы (IIa) в DMSO-d₆, обеспеченной, вероятно, стекинг-взаимодействием между остатками мононуклеотида и рубомицина. Установлено, что введение рубомицинового остатка в олигонуклеотид повышает стабильность комплементарных комплексов.

В настоящее время ведется интенсивный поиск и конструирование соединений, действующих на определенные, в том числе вирусные, НК. Для этих целей перспективны олигонуклеотиды, способные образовывать комплементарные комплексы с выбранными участками НК, функцию которой необходимо «выключить». Для создания более эффективно действующих препаратов в олигонуклеотид вводят группировки, повреждающие НК или способствующие стабилизации комплементарного комплекса [1—4]. Полезным может оказаться введение в олигонуклеотид различных антибиотиков, способных стабилизировать дуплексы и действовать на НК. Такой подход может привести к созданию новых биологически активных соединений, целенаправленно действующих на генетический аппарат клетки. К числу антибиотиков, ингибирующих синтез НК, относятся противоопухолевые антибиотики антрациклинового ряда, в частности рубомицин [5—7]. Известно, что они способны связываться с НК [8, 9] и, кроме того, действовать на ферментативные системы, обеспечивающие наработку НК в клетке [10, 11].

В настоящей работе осуществлен синтез, исследована структура и некоторые свойства рубомициновых производных моно- и олигонуклеотидов.

При ковалентном присоединении рубомицина к моно- и олигонуклеотидам важно предотвратить модификацию функциональных групп антибиотика, ответственных за биологическую активность. Авторами работ [12, 13] были получены производные рубомицина и доксорубицина по аминогруппе сахарного остатка, противоопухолевая активность которых более чем на порядок выше активности исходных антибиотиков, а цитотоксичное действие слабее. Следовательно, можно надеяться, что модификация аминогруппы сахара не приведет к существенной потере биологической активности рубомицина.

Для максимального сохранения способности олигонуклеотидов к комплексообразованию ковалентное присоединение рубомицинового остатка

Сокращения: символ «d» в аббревиатуре олигодезоксирибонуклеотидов опущен; Н, Н_T — протоны остатков агликона рубомицина и тимицина соответственно; Н', Н_{T'} — протоны углеводного остатка рубомицина и тимицина; НК — вакуленновая кислота; RmH·HCl — гидрохлорид рубомицина; DMAP — 4-диметиламинопиридин; ЯЭО — ядерный эффект Оверхаузера; COSY — двумерный J-корреляционный спектр; NOESY — двумерный спектр ЯЭО.

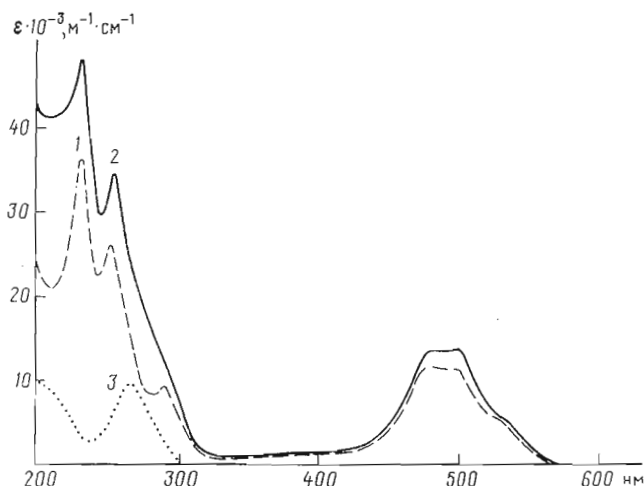
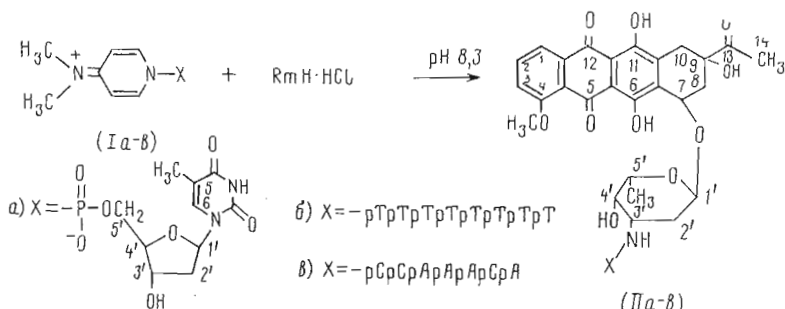


Рис. 1. Электронные спектры поглощения рубомицина (1), тимидин-5'-фосфата (2) и его рубомицинового производного (1а) (3)

осуществляли по 5'-концевой фосфатной группе. Активацию последней мы проводили в присутствии 4-диметиламинопиридина с использованием смеси трифенилfosфина и 2,2'-дипиридилидисульфида, поскольку ранее было показано, что образующиеся в ходе активации 4-диметиламинопиридиневые производные моно- и динуклеотидов быстро и количественно реагируют с алифатическими аминами с образованием соответствующих фосфамидов [14]. Взаимодействие же с гидроксигруппами протекает гораздо медленнее. Это позволяло надеяться, что в случае реакции с рубомицином в первую очередь будет фосфорилироваться аминогруппа сахара. Образующиеся реакционноспособные фосфамиды (Ia—в) с цвиттерионной концевой фосфатной группой предварительно отделяли от остальных компонентов реакционной смеси и прибавляли к водным растворам рубомицина.



За протеканием реакции фосфамида (Ia) с рубомицином следили с помощью ^{31}P -ЯМР. Известно [15], что в спектрах ^{31}P -ЯМР сигналы ядер атомов фосфора амидов фосфомонозифиров, в которых атом азота участвует в образовании ароматической π -системы, регистрируются на 7—14 м.д. в более сильном поле, а сигналы ядер фосфора алифатических фосфамидов — на 6—7 м.д. в более слабом поле, чем для 85% H_3PO_4 . Это дает возможность тестировать тип фосфамида и отличать фосфамиды от фосфоэфиров. При взаимодействии производного (Ia) с RmH через 2 ч помимо сигналов вещества (Ia) и pT (продукта гидролиза амида (Ia)) регистрируется сигнал с δ 6,4 м.д., смещенный относительно сигнала исходного соединения (Ia) на 12 м.д. в слабое поле. Это свидетельствует об образовании алифатического фосфамида и, следовательно, о протекании реакции между активированным фосфатом мононуклеотида и аминогруппой сахара рубомицина с образованием соединения (IIa).

Последнее было выделено из реакционной смеси обращенно-фазовой ВЭЖХ и дополнительно охарактеризовано. Как видно из рис. 1, электрон-

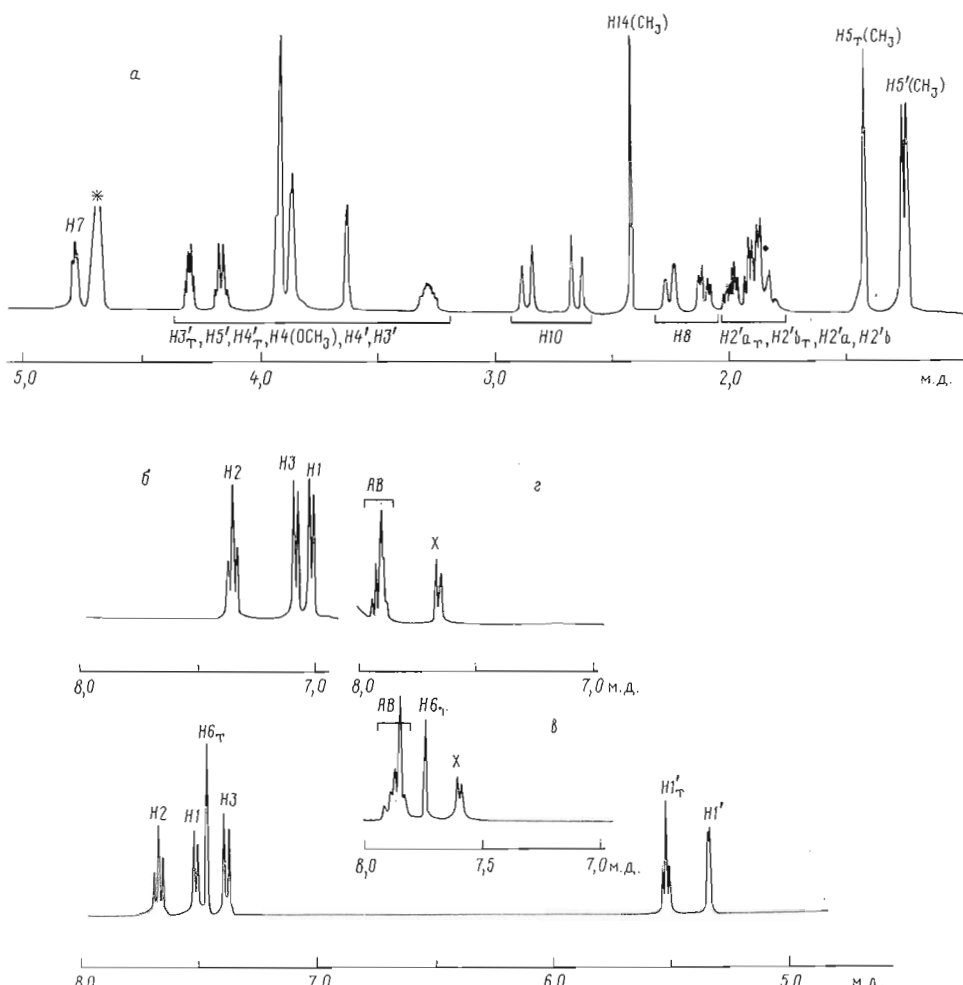
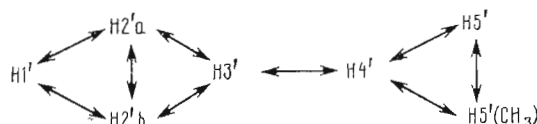


Рис. 2. ^1H -ЯМР-спектр производного (IIa) в D_2O . Звездочкой обозначен сигнал примеси H_2O (а) и фрагменты ^1H -ЯМР-спектров в области 8,0–7,0 м. д.: рубомицина D_2O (б), производного (IIa) в $\text{DMSO}-d_6$ (в), рубомицина в $\text{DMSO}-d_6$ (г)

ный спектр поглощения полученного соединения (IIa) является практически суперпозицией спектров поглощения рТ и рубомицина, что согласуется с его структурой. Окончательно подтверждают строение рубомицинового производного рТ данные, полученные с помощью одно- и двумерного ^1H -ЯМР, позволяющие также сделать заключение о пространственной организации молекулы (IIa).

Спектр необменивающихся протонов соединения (IIa) в D_2O представлен на рис. 2. Там же показаны области локализации сигналов протонов основания, агликона и углеводов. Идентификацию сигналов осуществляли, анализируя двумерный J -корреляционный (COSY) спектр (рис. 3), который позволил выявить ядра, связанные скалярным спин-спиновым взаимодействием. Протоны углеводного остатка рубомицина относили по схеме 1

Схема 1



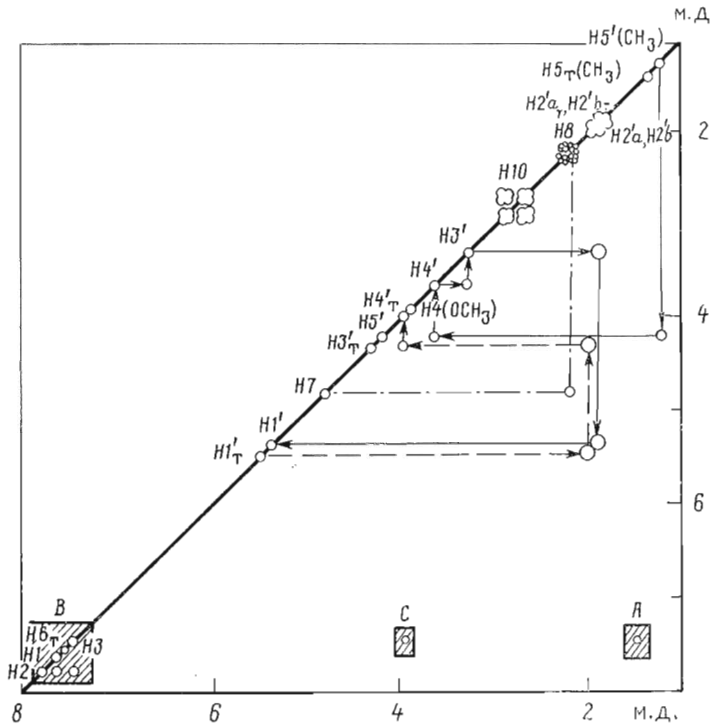
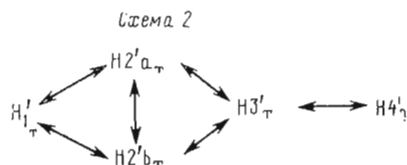


Рис. 3. Схематичное изображение COSY-спектра производного (IIa) в D_2O . Сплошной линией соединены кросс-пикс углеводного остатка рубомицина, штриховой — протоны дезоксирибозы тимидина, штрих-пунктира — ароматические протоны H_7 и H_8 агликона

Протоны дезоксирибозы отнесены по схеме 2



В сильнопольной области спектра (1,5—1,0 м.д.) (рис. 2a), характерной для проявления протонов CH_3 -групп, регистрируются два сигнала. Первый резонирует при 1,455 м.д. и принадлежит протонам CH_3 -группы тимидина, так как дает кросс-пик (рис. 3, область А) с протоном, резонирующим в области ароматических протонов тимидина (H_6^T). Второй сигнал проявляется в виде дублета при 1,280 и 1,296 м.д. (рис. 2a) и в COSY-спектре (рис. 3) дает кросс-пик с протоном H_5' углеводной части рубомицина. Этих данных достаточно для однозначного отнесения дублета к протонам CH_3 -группы в 5'-положении углеводного остатка рубомицина. Расщепление сигнала в данном случае обусловлено взаимодействием протонов H_5' (CH_3) с соседним протоном H_5' . Выбрав в качестве стартового сигнала H_5' (CH_3), мы через соответствующие кросс-пиксы отнесли все сигналы протонов в углеводной части рубомицина: H_5' , H_4' , H_3' , $H_2'^a$, $H_2'^b$, H_1' (рис. 3, см. сплошные линии). Значения химических сдвигов всех протонов представлены в таблице.

Для протонов дезоксирибозного остатка нуклеотида в качестве стартового выбран сигнал $H_1'^T$, как правило резонирующий в области 5,0—5,5 м.д. На рис. 2a видно, что в этом районе спектра находятся два сигнала. Сигнал с химическим сдвигом 5,365 м.д. отнесен нами по схеме 1 к протону H_1' углеводного остатка рубомицина, а оставшийся триплет с центром при 5,545 м.д. — к $H_1'^T$. Далее, в соответствии со схемой 2

Значения химических сдвигов протонов рубомицина (RmH) и рубомицинового производного тимидин-5'-фосфата (IIa) в D₂O и DMSO-d₆^a

Обозначение протона	D ₂ O		DMSO-d ₆	
	RmH	(IIa)	RmH	(IIa)
H1	7,060	7,539		
H2	7,397	7,696		
H3	7,127	7,410	7,648	7,579
H4 (OCH ₃)	3,740	3,946	4,005	3,973
H7	4,699	4,810	4,94	4,896
H8a	2,051	2,131	2,119	
H8b	2,199	2,281	2,211	2,12–2,26 ^b
H10a	2,560	2,676	2,903	2,888
H10b	2,764	2,884	2,953	2,988
H14 (CH ₃)	2,439	2,452	2,324	2,277
H5' (CH ₃) ^c	1,319, 1,335	1,280, 1,296	1,197, 1,213	1,148, 1,164
H5'	4,262	4,193	4,246	4,077
H4'	3,900	3,660	3,67	3,491
H3'	3,781	3,330	3,38 ^e	3,23
H2'a, H2'b	1,963–2,035	1,897–1,947	1,740–1,930	1,62–1,81
H1'	5,423	5,365	5,344	5,206
H6 _T	—	7,492	—	7,722
H5 _T (CH ₃)	—	1,455	—	1,739
H4' _T	—	3,959 ^d	—	3,821
H3' _T	—	4,326	—	4,264
H2'a _T , H2'b _T	—	1,947–2,020	—	1,98–2,09
H1' _T	—	5,545	—	6,072
-NH ₂ , -NH-	—	—	8,03 (NH ₂)	11,09 (-NH-)
-OH4'	—	—	5,472	5,70
-OH9	—	—	5,557	6,22

^a Цифровое разрешение прибора 0,0018 м.д./точка. Значения химических сдвигов с двумя значениями цифрами приведены для уширенных сигналов.

^b Приведена полоса поглощения AB-протонов системы ABX.

^c Сигналы системы AB уширены, приведена полоса поглощения.

^d Сигнал протонов H5'(CH₃) проявляется в виде дублета.

^e Сигнал проявляется в виде плача.

Совпадает с сигналом примеси H₂O, идентифицируется по COSY-спектру.

(рис. 3, см. пунктирные линии) выполнено отнесение сигналов дезоксирибозы: H2'a_T, H2'b_T, H3'_T, H4'_T.

Ароматические протоны H1, H2 и H3 агликона рубомицина и H6_T находятся в слабопольной области спектра 8,0–7,0 м. д. (рис. 2a). Их отнесение осуществлено также с использованием кросс-пиков COSY-спектра (рис. 3, область В). Для рубомицина и производного (IIa) в D₂O самый слабопольный сигнал проявляется в виде триплета. В COSY-спектре исследуемых соединений этот сигнал дает два кросс-пика с дублетами. Полученные данные позволяют отнести слабопольный сигнал к ароматическому протону H2 агликона, взаимодействующему с соседними протонами H1 и H3. Сильнопольный дублет соединения (IIa) в области 8,0–7,0 м. д. был отнесен к протону H3 агликона, поскольку он имеет слабопольный кросс-пик с протонами OCH₃-группы этого же ароматического кольца (рис. 3, область С).

Таким образом, химические сдвиги сигналов ароматических протонов агликона соединения (IIa) в D₂O уменьшаются в следующем порядке: H2, H1 и H3. Однако для исходного рубомицина порядок уменьшения химических сдвигов этих протонов в спектре иной: H2, H3 и H1. Возможно, это обусловлено разницей в способности к самоагрегации [16] рубомицинового остатка в самом антибиотике и в соединении (IIa). Сопоставление значений химических сдвигов, представленных в таблице, для рубомицина и производного (IIa) свидетельствует о том, что ароматические протоны H1, H2, H3 соединения (IIa) в D₂O дезэкранированы по сравнению с соответствующими протонами рубомицина (рис. 2a, б).

При замене D₂O на DMSO-*d*₆ система сигналов ароматических протонов агликона в рубомицине и соединении (IIa) усложняется (становится сильносвязанной — ABX) (таблица, рис. 2в, г). Протоном X в DMSO-*d*₆ для рубомицина и соединения (IIa) однозначно является H3 агликона, так как в обоих случаях он связан кросс-пиком с сигналом протонов OCH₃-группы. Для протонов H1 и H2 в таблице указан интервал, где проявляются все полосы системы AB. Однозначное отношение этих сигналов AB в системе ABX возможно лишь с использованием математической обработки спектра [17].

Протоны H10a, H10b и H8a, H8b рубомицина и соединения (IIa) представляют собой AB-системы, различить которые удается в COSY-спектре по дополнительному взаимодействию протонов пары H8a, H8b с H7 (рис. 3, линия штрихпунктир).

Сигнал протонов метильной группы H14(CH₃) как в рубомицине, так и в его производном (IIa) представлен синглетом в обоих растворителях (таблица). В COSY-спектре исследуемых соединений этот сигнал дает подва слабых кросс-пика с протонами H8 и H10.

Как видно из таблицы, максимальные изменения химических сдвигов наблюдаются для протонов аминогруппы сахара и соседнего с ней H3-протона при переходе от рубомицина к соединению (IIa). В спектре рубомицина в DMSO-*d*₆ сигнал NH₂-группы наблюдается при 8,03 м.д. В спектре производного (IIa) этот сигнал отсутствует, появляется новый при 11,09 м.д., который относится к ~NH-группе. Это свидетельствует о вовлечении аминогруппы в образование ковалентной связи с тимидин-5'-фосфатом.

Экранирование ароматических протонов агликона в соединении (IIa) по сравнению с рубомицином в DMSO-*d*₆ возможно в результате стекинг-взаимодействия ароматической системы агликона и рТ. В пользу этого предположения свидетельствуют также данные NOESY (IIa) в DMSO-*d*₆.

Кросс-пики в NOESY-спектре отражают процессы кросс-релаксации между сближенными в пространстве протонами. Принципы последовательного отнесения сигналов в спектрах NOESY для правосpirальных ДНК-дуплексов детально описаны в работе [18]. В NOESY-спектре соединения (IIa) (рис. 4) проявляются кросс-пики, ответственные как за внутринуклеотидные взаимодействия ароматического протона H6_T с протонами дезоксирибозы (H1'_T, H2'_a_T, H2'_b_T) или H6_T с соседним H5_T (CH₃) (рис. 4, кросс-пики обозначены звездочкой), так и за взаимодействия H6_T с протонами H1', H2'_a, H2'_b сахара рубомицина (рис. 4, кросс-пики обозначены вертикальной стрелкой).

Наличие кросс-пика между ароматическим протоном тимицина и протонами сахара рубомицина говорит о существовании определенной конформации молекулы (IIa). По аналогии с динуклеотидами, для которых показано [18], что регистрация кросс-пиков между протонами гетероцикла и протонами дезоксирибозы свидетельствует о присутствии динуклеотида в правосpirальной ориентации, можно полагать, что и в исследуемом случае молекула (IIa) находится в такой же конформации. Следует отметить, что, если ЯЭО между пространственно сближенными протонами в динуклеотидах удается наблюдать лишь при температурах, близких к 0° С [19], то в исследуемой нами системе ЯЭО наблюдаются даже при 30° С. Стабильность правосpirальной конфигурации обеспечивается, возможно, большим, чем в случае с динуклеотидами, стекинг-взаимодействием между основанием тимицина и тетрагидротетраценхиноновым хромофором рубомицина.

Таким образом, из данных спектроскопии ядерного магнитного резонанса и УФ-спектроскопии вытекает, что 4-диметиламинопиридиниевое производное тимицин-5'-фосфата (Ia) реагирует с аминогруппой сахара рубомицина с образованием соответствующего фосфамида (IIa). При этом реакция фосфорилирования настолько селективна, что гидроксигруппы антибиотика модификации в ходе синтеза не подвергаются.

При взаимодействии 4-диметиламинопиридиниевых производных олигонуклеотидов (Ib, в) с рубомицином в условиях, аналогичных синтезу

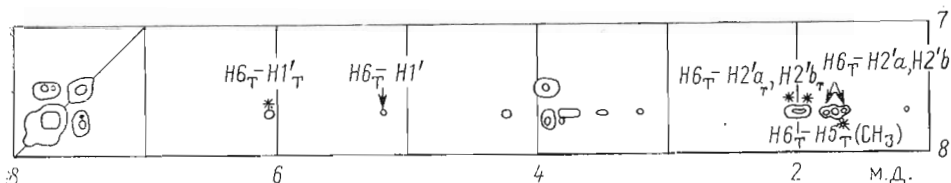


Рис. 4

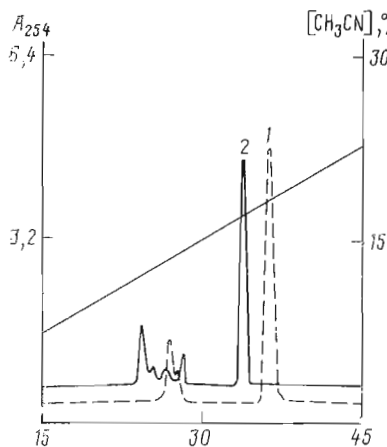


Рис. 5

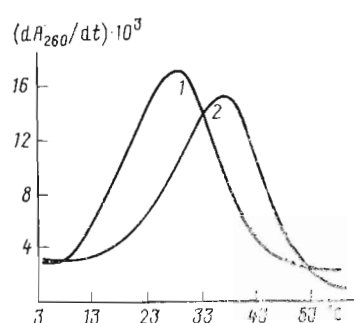


Рис. 6

Рис. 4. Фрагмент NOESY-спектра в $DMSO-d_6$ (время смешивания 400 мс) с иллюстрацией кросс-пиков взаимодействия протона основания $H_6^-_T$ с протонами метильной группы $H_5^-(CH_3)$, дезоксирибозы $H_1'_T$, $H_2'a_T$, $H_2'b_T$ (обозначены звездочкой) и с протонами углеводной части рубомицина H_1' , $H_2'a$, $H_2'b$ (обозначены стрелкой)

Рис. 5. Профили обращенно-фазовой хроматографии реакционных смесей при синтезе рубомициновых производных олигонуклеотидов (IIб) (1) и (IIв) (2). Колонка $(4,6 \times 250$ мм) с носителем Lichrosorb RP-18 (10 мкм), градиент 0–30% ацетонитрила в 0,05 М $LiClO_4$ (общий объем 60 мл)

Рис. 6. Дифференциальные кривые термической денатурации комплементарных комплексов олигонуклеотида $pTpGpTpTpGpGpC$ с $pCpCpApApCpA$ (1) или с его рубомициновым производным (IIв) (2) при концентрации компонентов $2,5 \cdot 10^{-5}$ М в 0,16 М $NaCl$, 0,02 М KH_2PO_4 , 0,1 ММ EDTA (рН 7,4)

соединения (IIа), были получены соответственно фосфамиды олигонуклеотидов (IIб, в). Последние выделяли из реакционной смеси обращенно-фазовой ВЭЖХ. Присоединение рубомицинового остатка с его системой ациклического и трех ароматических колец к олигонуклеотиду должно повышать гидрофобные свойства продукта реакции и, следовательно, уменьшать подвижность на обращенно-фазовом сорбенте. Действительно, соединения (IIб) и (IIв) задерживаются значительно дольше, чем исходные олигонуклеотиды (рис. 5).

Рубомициновое производное олигонуклеотида (IIб) элюируется с анион-обменного сорбента как полиянион, имеющий на один заряд меньше, чем исходный олигонуклеотид. В случае присоединения антибиотика к олигонуклеотиду через какую-либо OH-группу полученное соединение в условиях ионообменной хроматографии (рН 6,5) должно иметь на два заряда меньше, чем исходный олигонуклеотид. Кроме того, в условиях гидролиза фосфамидной связи (0,1 н. HCl , 37° С) соединение (IIб), по данным ионообменной хроматографии, за 2,5 ч претерпевает количественное превращение с образованием исходного олигонуклеотида. Следовательно, при взаимодействии соединения (IIб) с антибиотиком фосфорилирование протекает по аминогруппе сахара рубомицина и при этом образуется фосфамид (IIб).

В электронном спектре поглощения соединений (IIб, в) наблюдаются полосы поглощения, характерные как для олигонуклеотидов (260 нм), так и для антибиотика (234, 290, 480—500 нм). Электронный спектр поглощения соединения (IIб) фактически не отличается от суперпозиции спектров олигонуклеотида и рубомицина (данные не приведены).

Принимая во внимание, что реакция рубомицина с 4-диметиламино-пиридинневыми производными олигонуклеотидов должна быть идентична его реакции с аналогичным реакционноспособным фосфамидом тимидин-5'-фосфата, а также данные обращенно-фазовой, ионобменной хроматографии и УФ-спектроскопии, можно утверждать, что в ходе взаимодействия (Iб, в) с антибиотиком образуются соединения типа (IIб, в).

Введение в олигонуклеотиды рубомицинового остатка может сказаться на их способности образовывать комплементарные комплексы. Влияние антибиотика на комплексообразующие свойства олигонуклеотидов оценивали путем сравнения температуры плавления комплексов pTpGpTpTpGpGpC с pCpCpApApApCpA (т. пл. 28,0° С) или с его рубомициновым производным (IIв) (т. пл. 36,5° С) (рис. 6). Увеличение стабильности комплементарных комплексов олигонуклеотидов с введением в их структуру рубомицинового остатка позволяет надеяться, что конструктированные нами производные антрациклического антибиотика будут обладать большей эффективностью воздействия на ДНК-мишень по сравнению с исходным олигонуклеотидом.

Экспериментальная часть

В работе использованы гидрохлорид рубомицина (Институт по изысканию новых антибиотиков, Москва), трифенилfosфин, 2,2'-дипиридилидисульфид, 4-диметиламинопиридин (Fluka AG, Швейцария), тимидин-5'-монофосфат (опытное химическое производство НИОХ СО АН СССР), олигонуклеотиды pCpCpApApApCpA, pTpGpTpTpGpGpC, pTpTpTpTpTpTpT, синтезированные модифицированным фосфотриэфирным методом синтеза [20].

N,N-Диметилформамид перегоняли под вакуумом по методике [21].

Выделение рубомициновых производных моно- и олигонуклеотидов (IIа—в) из реакционных смесей проводили обращенно-фазовой ВЭЖХ на хроматографе Altex-332 (США). Для выделения соединения (IIа) использовали колонку (10 × 250 мм) со смолой Lichroprep RP-18 (5—20 мкм, Merck, ФРГ) и градиент концентрации ацетонитрила от 0 до 80% в воде. Для выделения (IIб, в) использовали колонку (4,6 × 250 мм) со смолой Lichrosorb RP-18 (10 мкм, Merck, ФРГ) и градиент концентрации ацетонитрила от 0 до 30% в 0,05 М LiClO₄.

Спектры ³¹P-ЯМР записывали на импульсном спектрометре HX-90 с фурье-преобразованием на ЭВМ BNC-12 (Bruker, ФРГ) на частоте 36,43 МГц. Химические сдвиги приведены в миллионных долях относительно 85% ортофосфорной кислоты. Спектры записывали с подавлением спин-спинового взаимодействия с протонами. Реакцию 50 мкмоль соединения (Iа) со 100 мкмоль рубомицина проводили непосредственно в 10-мм ампуле в 1,4 мл 0,2 М водного NaHCO₃ (рН 8,3).

Одно- и двумерные ¹H-ЯМР-спектры записывали на спектрометре AM-400 (Bruker, ФРГ) и обрабатывали на компьютере Aspect 3000. Спектральная ширина 4000 Гц. Фазочувствительные NOESY-спектры получали при времени смешивания 0,4 с. Матрицу данных (1024 × 4096) умножали в направлении ω_2 на гауссову функцию, а в направлении ω_1 — на квадрат синусоидальной функции. Затем проводили фурье-преобразование и фазовую корректировку двумерного спектра. COSY-спектры записывали при следующих условиях: 4096 точек в направлении ω_2 и 512 точек в направлении ω_1 . Исследуемый образец (IIа) после очистки обращенно-фазовой хроматографией пропускали через колонку с дауэксом 50 × 4 (Merck, ФРГ) в Na⁺-форме и лиофилизовали 2 раза из D₂O. Растров образца (концентрация 3,5 · 10⁻² М) либо в DMSO-d₆ (99,8%), либо в 0,1 М NaCl, 0,01 М NaD₂PO₄, 0,01 mM EDTA (рН 7,4) в D₂O (99,8%)

помещали в 5-мм ампулу. Гидрохлорид рубомицина дважды лиофилизовали из D₂O и без дополнительной очистки использовали для приготовления образца аналогично соединению (IIa). Спектры записывали при 30° С, в качестве стандарта использовали натрий-4,4-диметил-4-силанпентан-1-сульфонат.

Электронные спектры поглощения моно-, олигонуклеотидов и их производных (10^{-5} М в буферном растворе 0,02 М KН₂РО₄, 0,16 М NaCl, 0,1 mM EDTA, pH 7,4) записывали при 20° С на спектрофотометре Specord M 40 (Carl Zeiss Iena, ГДР).

Кислотный гидролиз производного (IIb) проводили в 0,1 н. HCl при 37° С в течение 2,5 ч при концентрации $2,5 \cdot 10^{-5}$ М. Реакционную смесь анализировали ионообменной ВЭЖХ на хроматографе Waters-510 (Millipore, Франция). Использовали колонку (5,6 × 250 мм) с носителем Полисил СА (10 мкм) [22] и градиент концентрации KН₂РО₄ (pH 6,5) от 0,02 до 0,3 М в 30% водном ацетонитриле.

Кривые плавления комплементарных комплексов олигонуклеотидов записывали с помощью установки для исследования термической денатурации в ультрамикромасштабе на базе спектрофотометра «Объ-4» (НИБХ СО АН СССР) при концентрации компонентов $2,5 \cdot 10^{-5}$ М в 0,16 М NaCl, 0,02 М KН₂РО₄, 0,1 mM EDTA (pH 7,4).

Радиоактивность моно-, олигонуклеотидов и их производных определяли на жидкостном сцинтиляционном счетчике Rackbeta (Wallas Oy, Финляндия) в диоксановом сцинтилляторе.

Синтез рубомицинового производного тимидин-5'-фосфата (IIa). Растворяли 58 мг (180 мкмоль) тимидин-5'-фосфата в виде свободной кислоты в 200 мкл H₂O и добавляли 25 мкл (180 мкмоль) триэтиламина. Смесь упаривали до маслообразного состояния, растворяли в 1 мл DMF и добавляли 424 мг (1,62 мкмоль) Ph₃P, 356 мг (1,62 мкмоль) (PyS)₂ и 132 мг (1,08 мкмоль) DMAP. Через 20 мин выпавший осадок (Ia) отделяли центрифугированием, промывали ацетоном (10 мл × 3) и сушили 15 мин под вакуумом (10—15 мм рт. ст.). Выход 30%. К раствору 21,3 мг (50 мкмоль) соединения (Ia) в 1,4 мл 0,2 М водного NaHCO₃ (pH 8,3) добавляли 56,3 мг (100 мкмоль) RmH·HCl. Через 24 ч продукт выделяли обращенно-фазовой ВЭЖХ. Выход не менее 80%.

Синтез рубомициновых производных олигонуклеотидов (IIb, в). К раствору 0,15 мкмоль цетавлоновой соли олигонуклеотида в 40 мкл DMF добавляли 3,5 мг (13 мкмоль) Ph₃P, 3 мг (13 мкмоль) (PyS)₂ и 1,6 мг (13 мкмоль) DMAP. Смесь выдерживала 20 мин при 20° С, затем олигонуклеотидный материал осаждали 10-кратным избытком 2% раствора LiClO₄ в ацетоне. Осадок отделяли, промывали ацетоном (1 мл × 3) и сушили 15 мин под вакуумом (10—15 мм рт. ст.). Полученные производные (Ib, в) растворяли в 20 мкл 0,2 М водного NaHCO₃, добавляли 1 мг (1,8 мкмоль) RmH·HCl. Продукт через 6 ч выделяли обращенно-фазовой ВЭЖХ. Выход 70%.

Для производных моно- и олигонуклеотидов (IIa—в) молярный коэффициент поглощения в растворе, содержащем 0,16 М NaCl, 0,02 М KН₂РО₄, 0,1 mM EDTA (pH 7,4), $\epsilon_{260} = 31,8 \cdot 10^3, 86 \cdot 10^3, 77 \cdot 10^3 \text{ M}^{-1} \text{ см}^{-1}$ соответственно, определяли методом радиоизотопной метки [3]. При этом меткой в олигонуклеотидах служил ³²P на 5'-конце, вводимый по методике [23] с использованием [γ -³²P]ATP (до 3000 Ки/ммоль, отечественное производство), T4-полинуклеотидкиназы (КФ 2.7.1.78) и ADP. Для определения молярного коэффициента поглощения соединения (IIa) использовали [³H]тимидин-5'-монофосфат (940 ТБк/моль, отечественное производство). Молярные коэффициенты поглощения олигонуклеотидов pCpCpApApCpA ($\epsilon_{260} = 66 \cdot 10^3 \text{ M}^{-1} \text{ см}^{-1}$), pTpGpTpTpGpGpC ($\epsilon_{260} = 66 \cdot 10^3 \text{ M}^{-1} \text{ см}^{-1}$) определяли по оптической плотности раствора после полного гидролиза последних фосфодиэстеразой змеиного яда [24]. Молярный коэффициент поглощения pTpTpTpTpTpT ($\epsilon_{260} = 69 \cdot 10^3 \text{ M}^{-1} \text{ см}^{-1}$) использовали из работы [25].

Авторы благодарят И. В. Кутявина (ИБХ СО АН СССР) за помощь в определении молярных коэффициентов поглощения.

СПИСОК ЛИТЕРАТУРЫ

1. Letsinger R. L., Schott M. E. // J. Amer. Chem. Soc. 1981. V. 103. № 24. P. 7394—7395.
2. Asseline U., Toulme F., Thuong N. T., Delarue M., Helene C. // EMBO J. 1984. V. 3. № 4. P. 795—800.
3. Зарытова В. Ф., Кутявин И. В., Сильников В. Н., Шишкун Г. В. // Биоорганская химия. 1986. Т. 12. № 7. С. 911—920.
4. Francois J.-C., Saison-Behmoaras T., Chassignol M., Thuong N. T., Helene C. // C. r. Acad. sci. 1988. V. 307. Ser. III. P. 849—854.
5. Calendi E., Di Marco A., Reggiani M., Scaprinato B., Valentini L. // Biochim. et biophys. acta. 1965. V. 103. № 1. P. 25—40.
6. Дудник Ю. В., Останина Л. Н., Козьмян Л. И., Гаузе Г. Ф. // Антибиотики. 1974. Т. 19. № 6. С. 514—517.
7. Гаузе Г. Ф., Дудник Ю. В. Противоопухолевые антибиотики. М.: Медицина, 1987. С. 19—41.
8. Patel D. J., Kozlowski S. A., Rice J. A. // Proc. Nat. Acad. Sci. USA. 1981. V. 78. № 6. P. 3333—3337.
9. Баранов Е. П., Брикенштейн В. Х., Димитровская Г. В., Баренбойм Г. М. // Антибиотики. 1984. Т. 29. № 3. С. 208—214.
10. Schwartz H. S. // Molecular aspects of anticancer drug action / Eds Neidle S., Waring M. J. L.: The Mac Millan Press, 1983. P. 93—125.
11. Logan K., Ackerman S. // DNA. 1988. V. 7. № 7. P. 483—491.
12. Acton E. M., Tong G. L., Mosher C. W. // J. Med. Chem. 1984. V. 27. № 5. P. 638—645.
13. Johnston J. B., Glazer R. I. // Cancer Res. 1983. V. 43. № 3. P. 1044—1048.
14. Годовикова Т. С., Зарытова В. Ф., Халимская Л. М. // Биоорганская химия. 1986. Т. 12. № 4. С. 475—481.
15. Лебедев А. В., Резвухин А. И. // Биоорганская химия. 1983. Т. 9. № 2. С. 149—185.
16. Chaires J. B., Dattagupta N., Crothers D. M. // Biochemistry. 1982. V. 21. № 17. P. 3927—3932.
17. Гюнтер Х. Введение в курс спектроскопии ЯМР: Пер. с англ. М.: Мир, 1984. С. 170—202.
18. Флорентьев В. Л. // Молекулярная биология. 1987. Т. 21. № 3. С. 593—614.
19. Kan L.-S., Cheng D. M., Chandrasegaran S., Pramanik P., Miller P. S. // J. Biomol. Struct. Dyn. 1987. V. 4. № 5. P. 785—796.
20. Зарытова В. Ф., Иванова Е. М., Романенко В. П. // Биоорганская химия. 1983. Т. 9. № 4. С. 516—521.
21. Гордон А., Форд Р. Спутник химика: Пер. с англ. М.: Мир, 1976. С. 439.
22. Ястребов С. Н. Способ получения сорбента: А. с. 1153976 СССР // Б. И. 1985. № 17. С. 28.
23. Berkner K. L., Folk W. R. // J. Biol. Chem. 1977. V. 252. № 10. P. 3176—3184.
24. Shabarova Z. A., Dolinnaya N. G., Drutsa V. L., Melnikova N. P., Purmal A. A. // Nucl. Acids Res. 1981. V. 9. № 21. P. 5747—5761.
25. Левина А. С., Невинский Г. А., Лаврик О. И. // Биоорганская химия. 1985. Т. 11. № 3. С. 358—369.

Поступила в редакцию
15.XI.1989

T. S. GODOVIKOVA, V. F. ZARYTOVA, S. G. LOKHOV, T. V. MALTSEVA,
D. S. SERGEEV

SYNTHESIS, STRUCTURE AND PROPERTIES OF DAUNOMYCIN OLIGONUCLEOTIDE DERIVATIVES

*Institute of Bioorganic Chemistry, Siberian Division, Academy of Sciences of the USSR
Novosibirsk*

Daunomycin derivatives of pT(DT) and oligodeoxynucleotides were synthesized using reactive zwitter-ionic 4-N,N-dimethylaminopyridine derivatives of the terminal phosphate group. Daunomycin oligodeoxynucleotide analogues form more stable complementary complexes than the corresponding non-modified oligonucleotides. Both one- and two-dimensional (2D NOESY and 2D COSY) NMR spectra of DT were recorded and the proton signals assigned. From the detected cross-relaxation between H6 of thymidine and H1', H2', H2" of the carbohydrate residue of daunomycin it was concluded that, in DMSO, the DT molecule has a rather stable conformation, apparently due to the stacking interaction between the mononucleotide and daunomycin residues.